

METHOD AND SYSTEM FOR THE DETECTION, COMPARISON AND VOLUMETRIC QUANTIFICATION  
OF PULMONARY NODULES ON MEDICAL COMPUTED TOMOGRAPHY SCANS

Margrit Betke, et al.

09/812,012

1/21

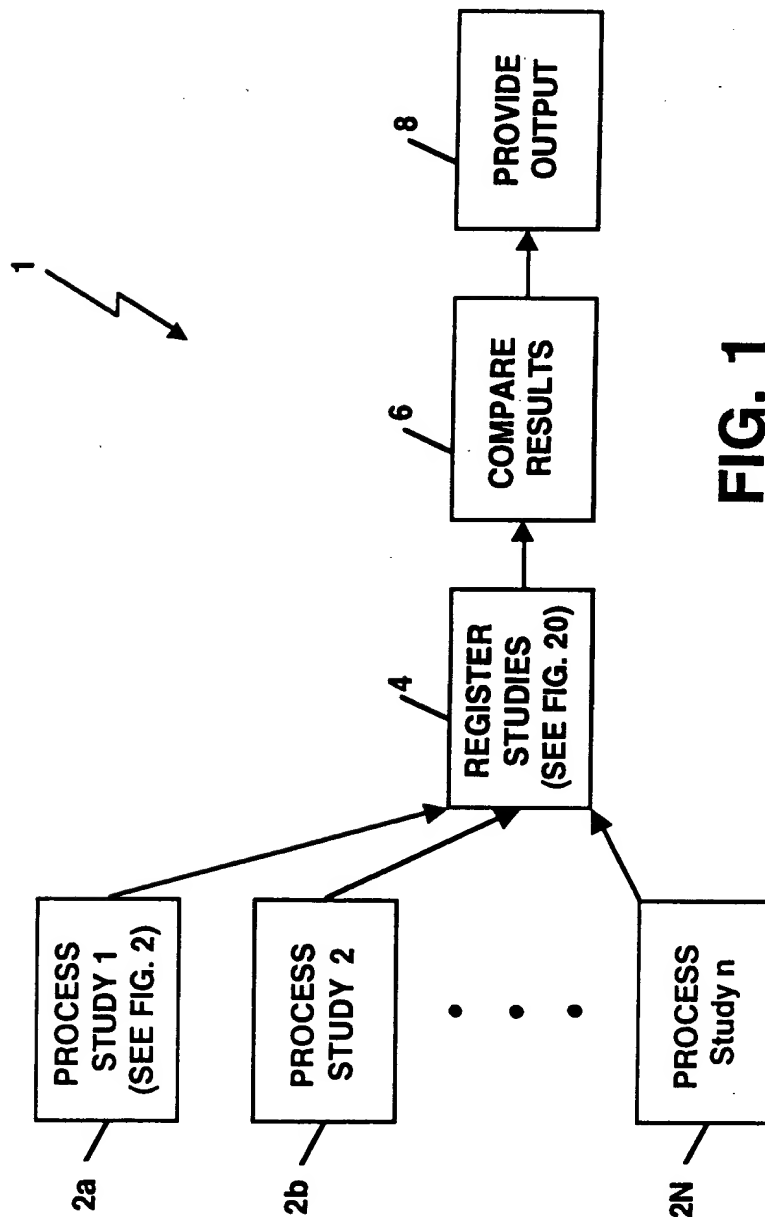
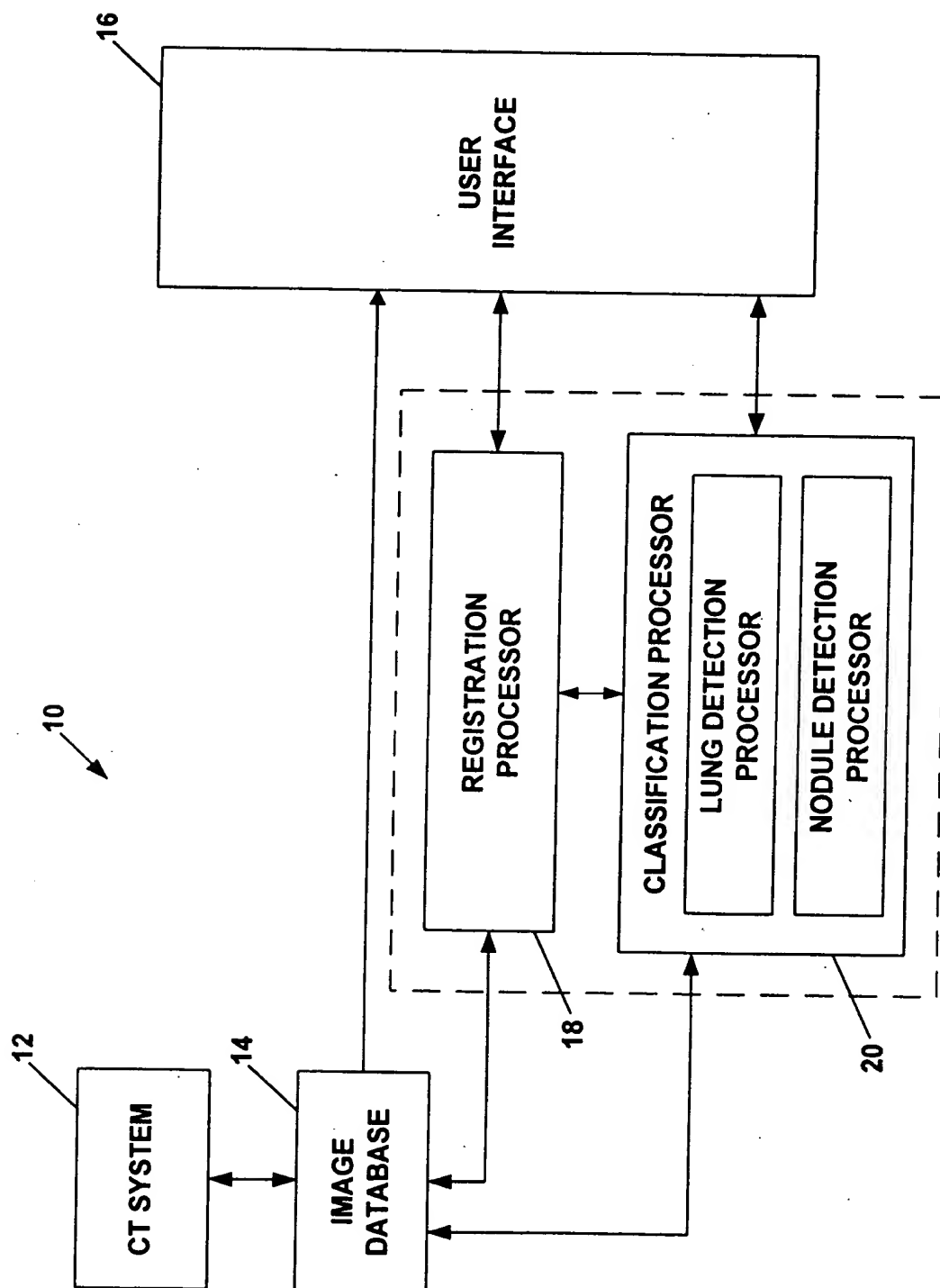
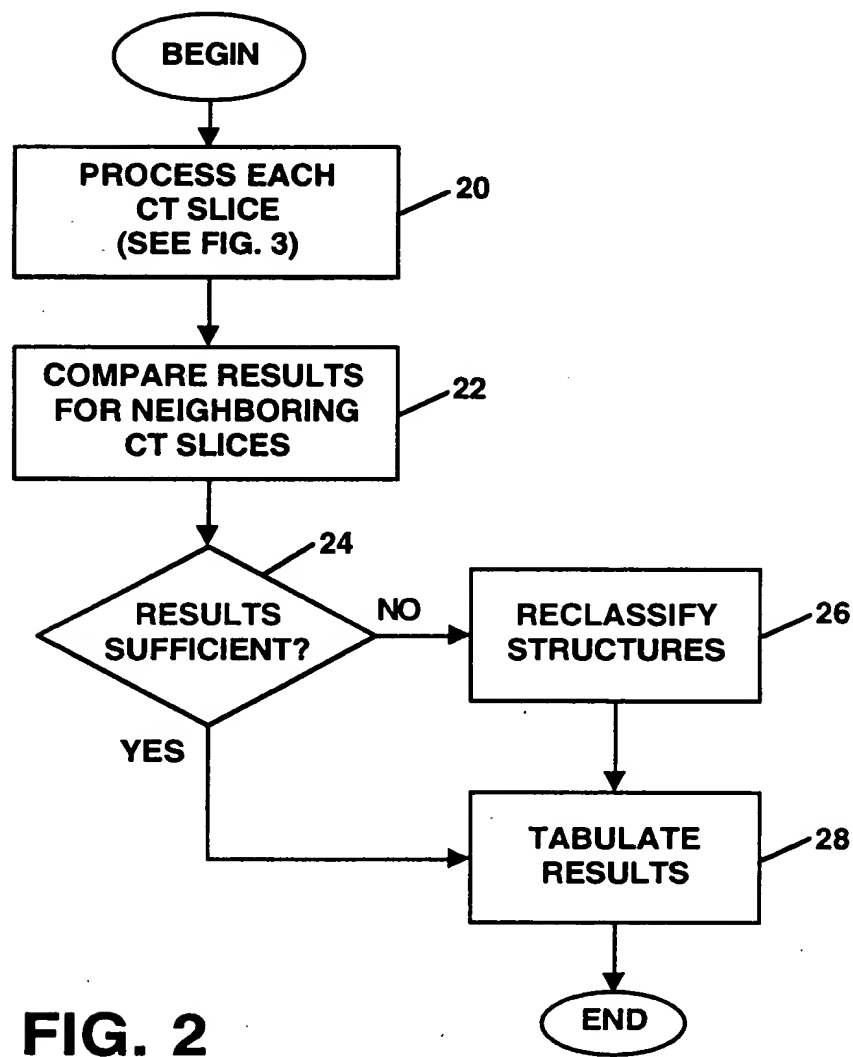


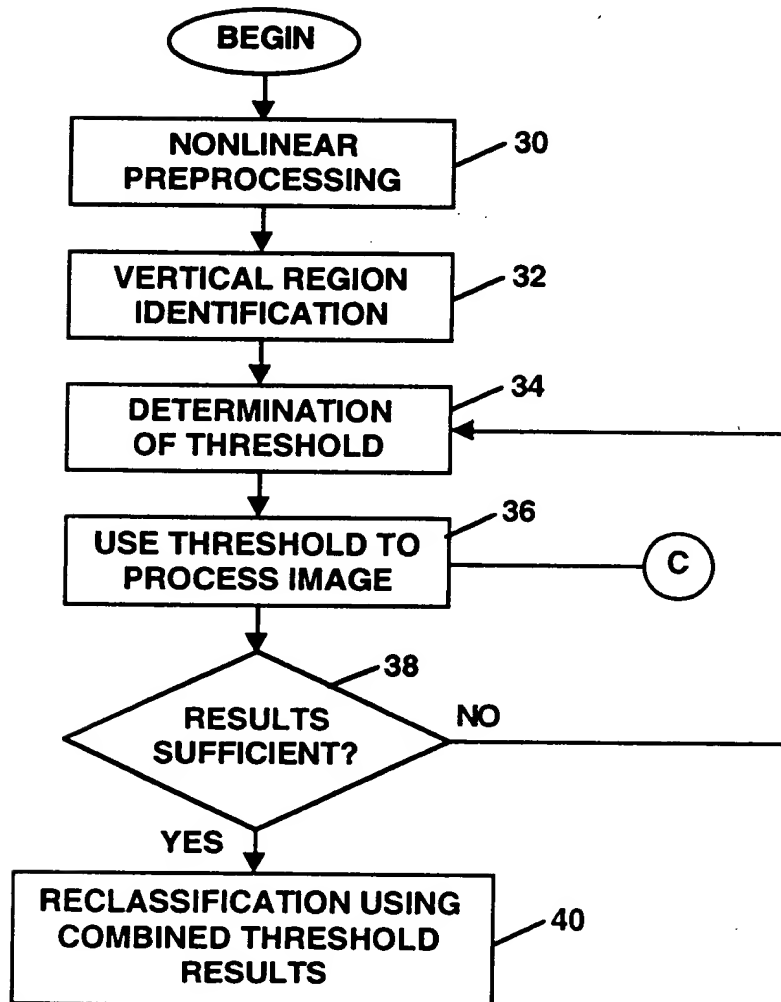
FIG. 1



**FIG. 1A**



**FIG. 2**



**FIG. 3**

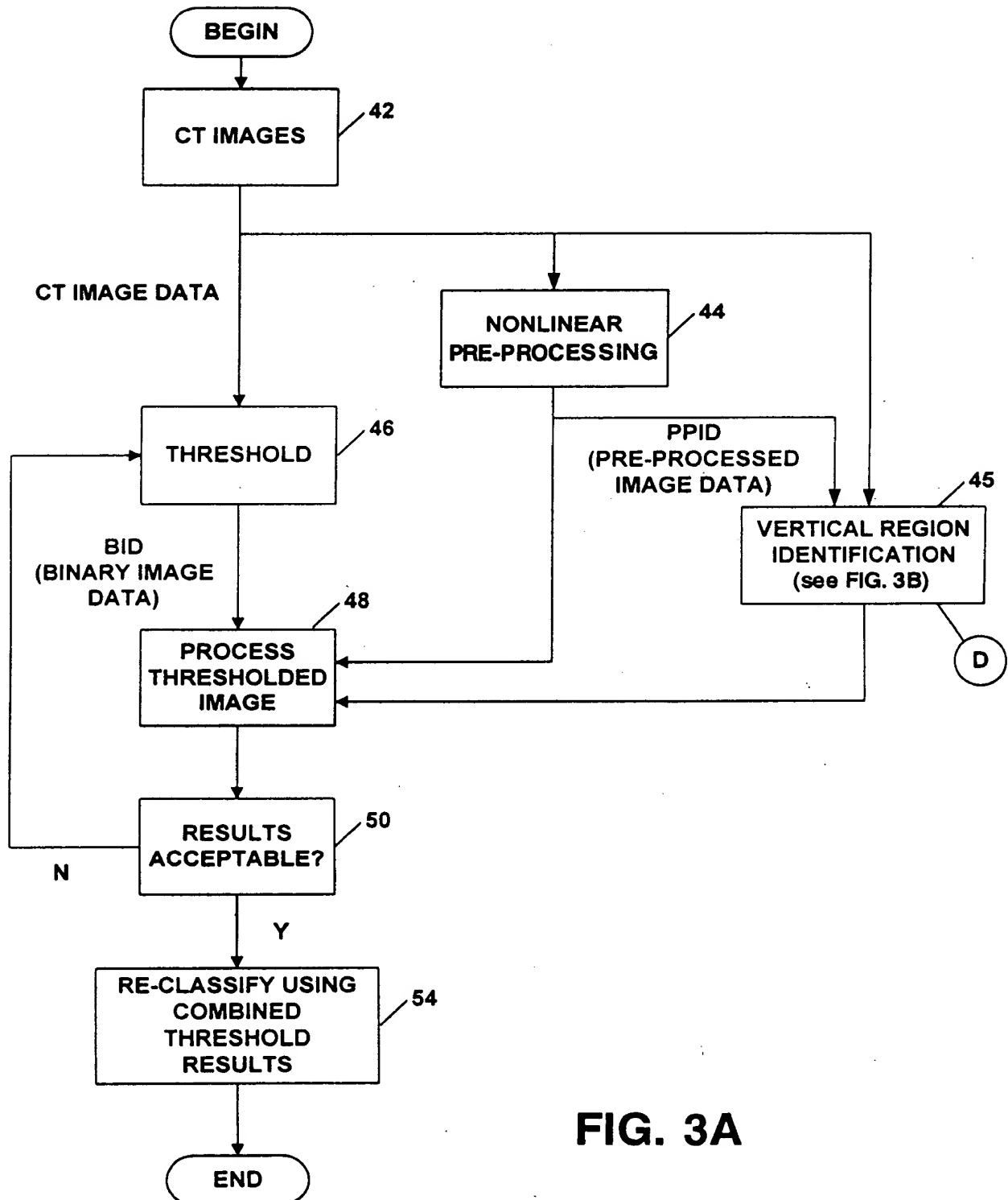
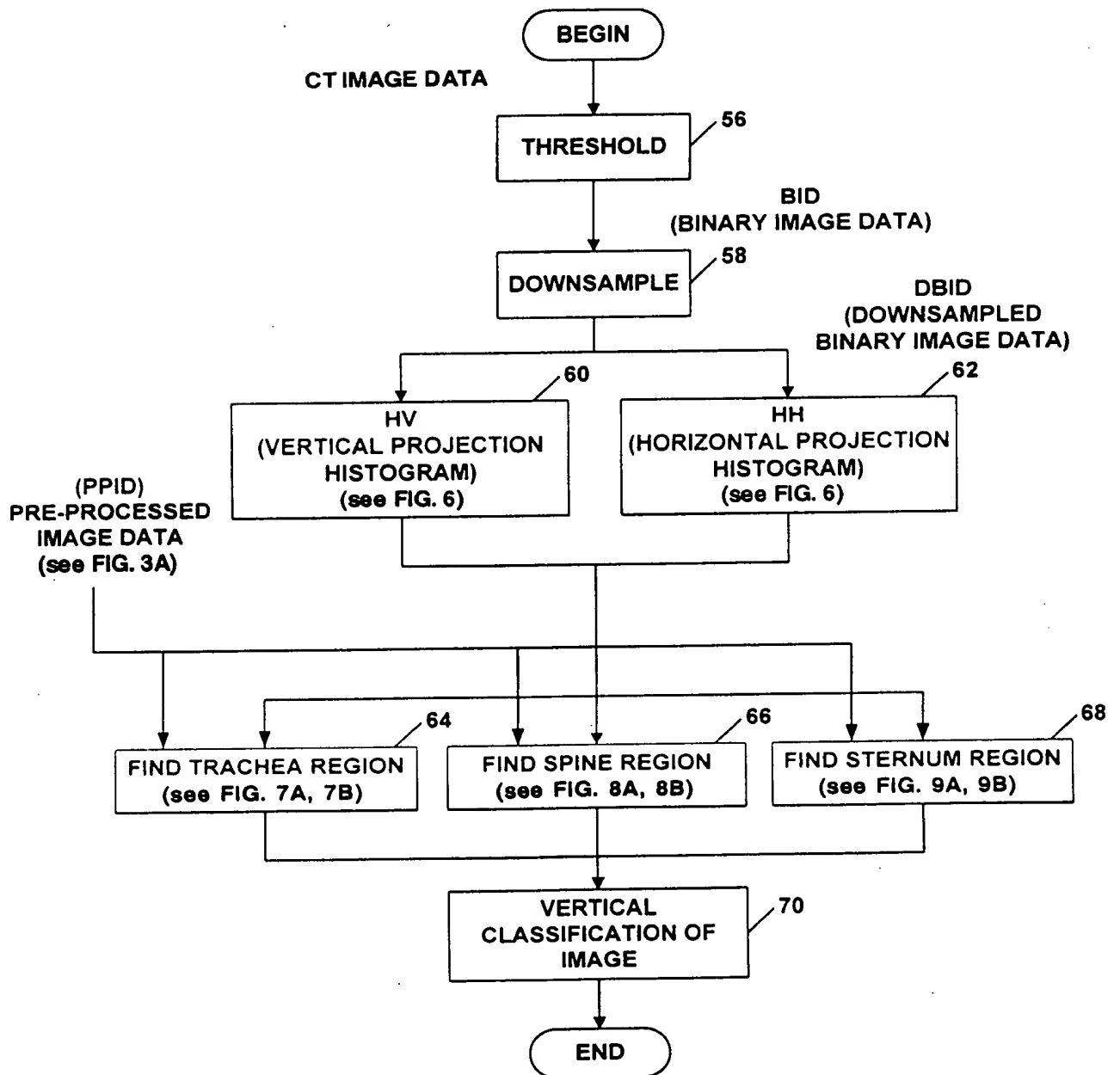


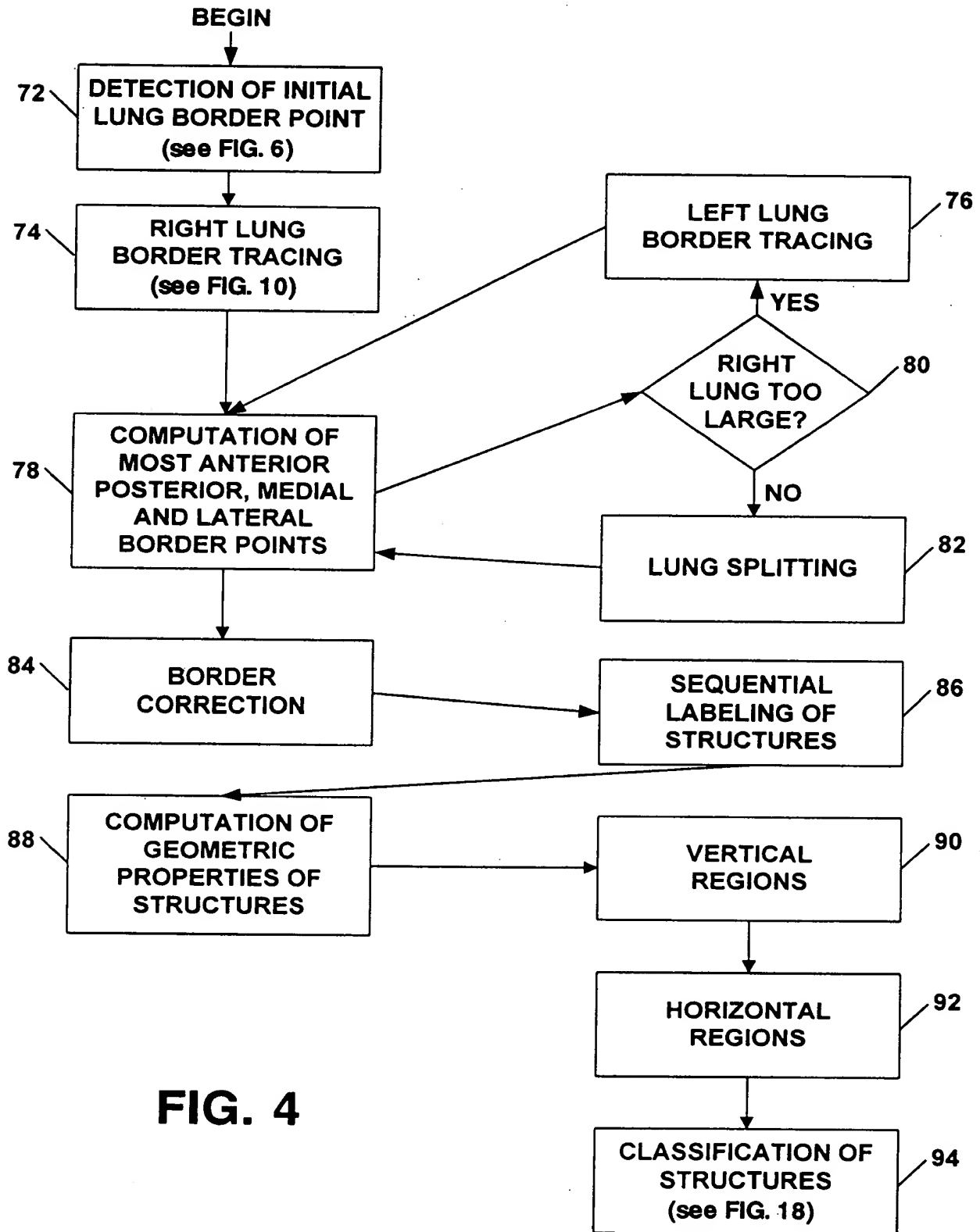
FIG. 3A

6/21



**FIG. 3B**

7/21



**FIG. 4**

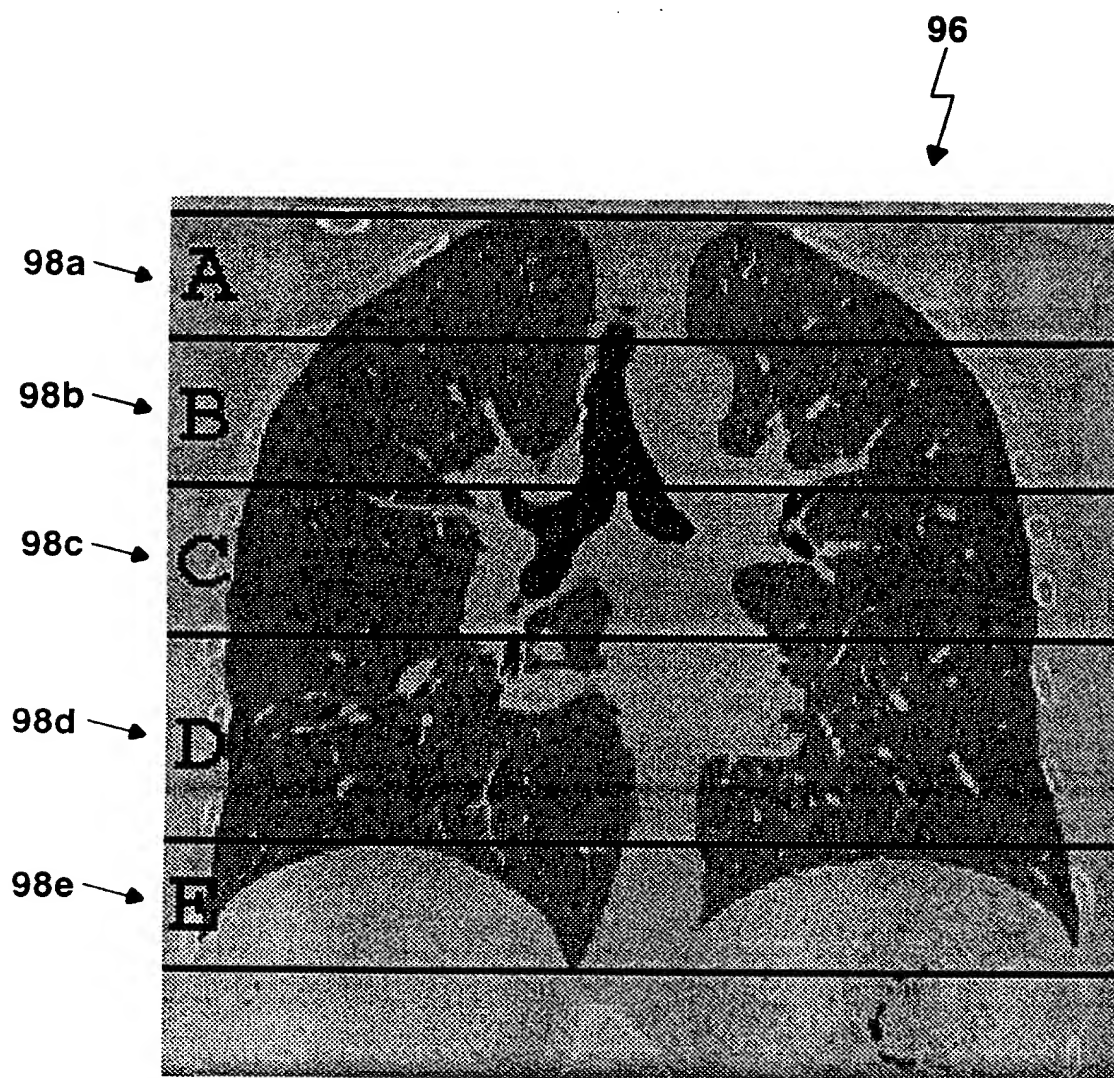
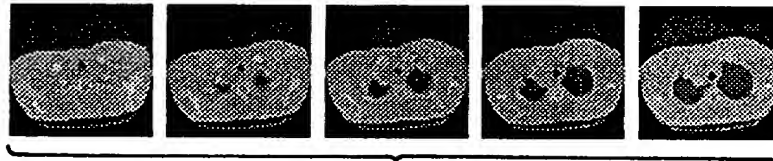


FIG. 5

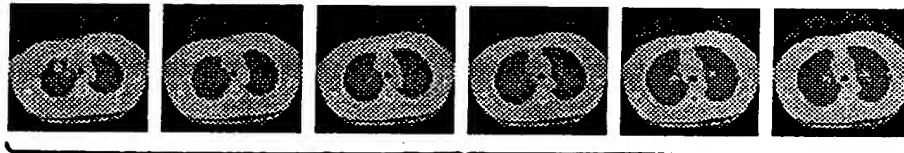


9/21



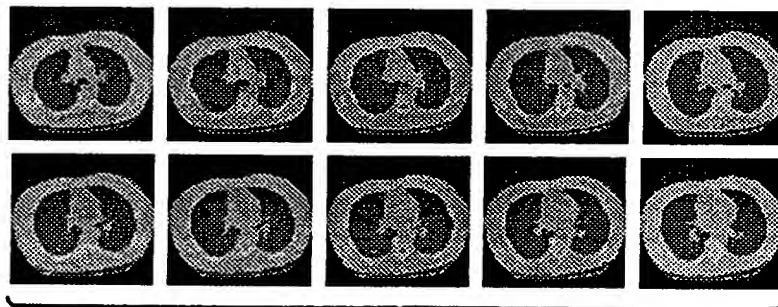
100

**FIG. 5A**



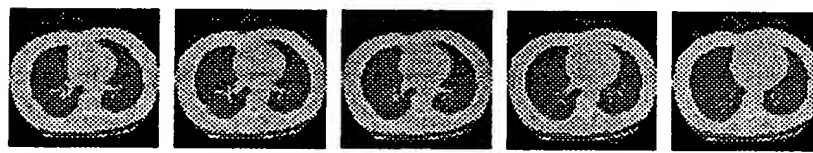
102

**FIG. 5B**



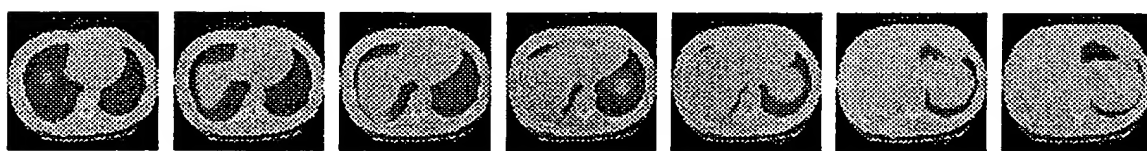
104

**FIG. 5C**



106

**FIG. 5D**



108

**FIG. 5E**

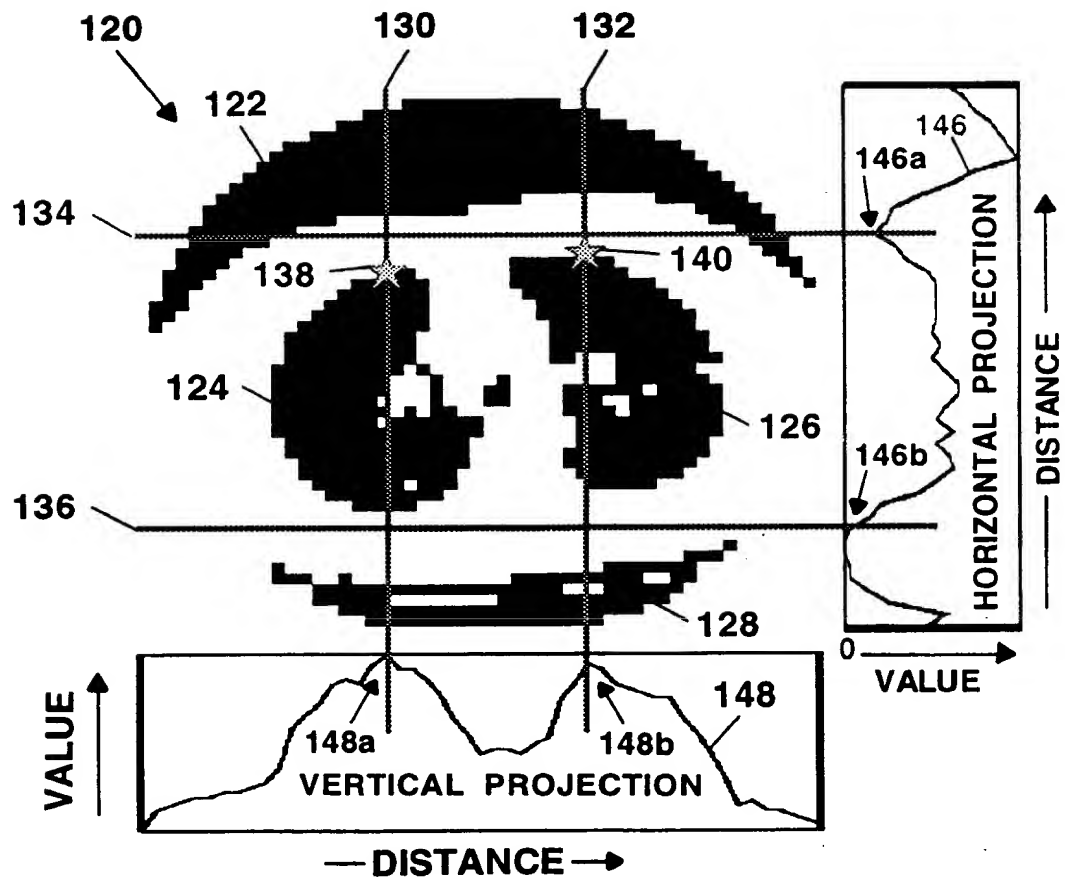


FIG. 6

11/21

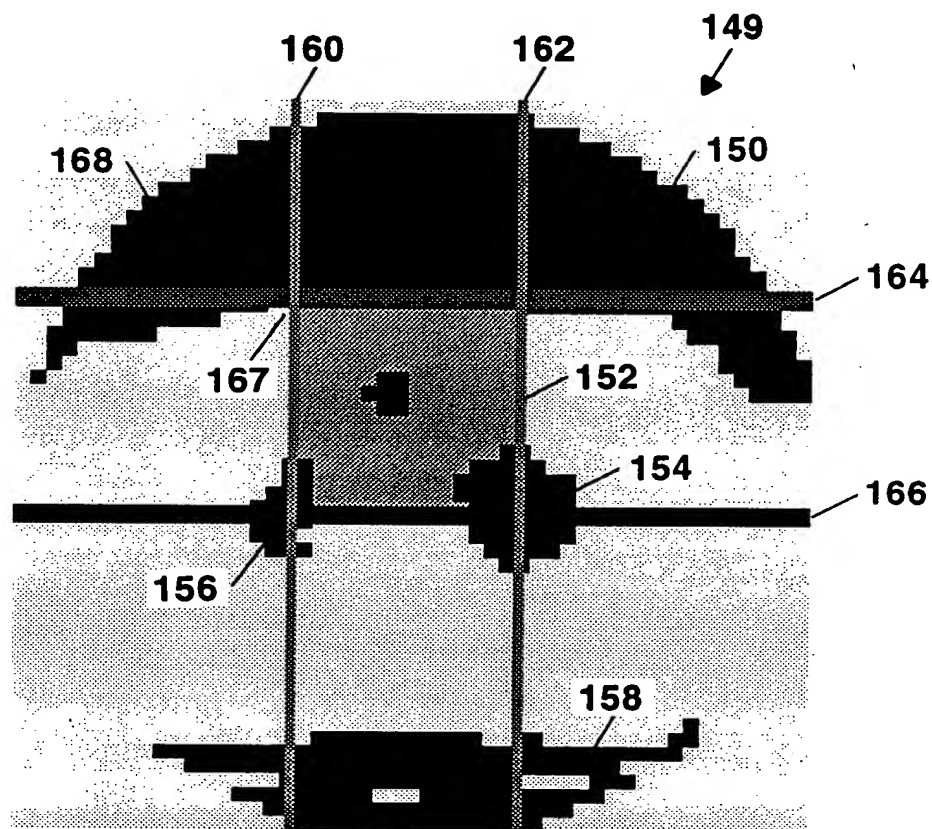


FIG. 7A

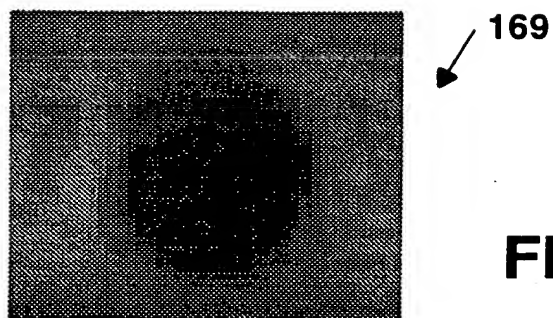
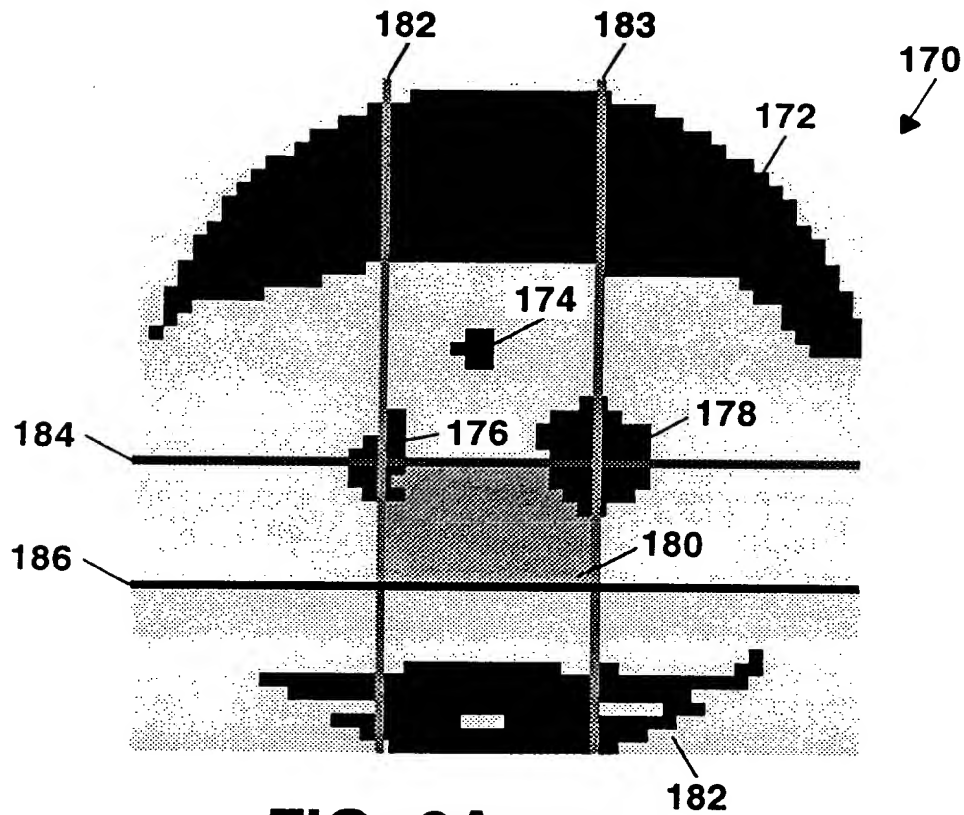


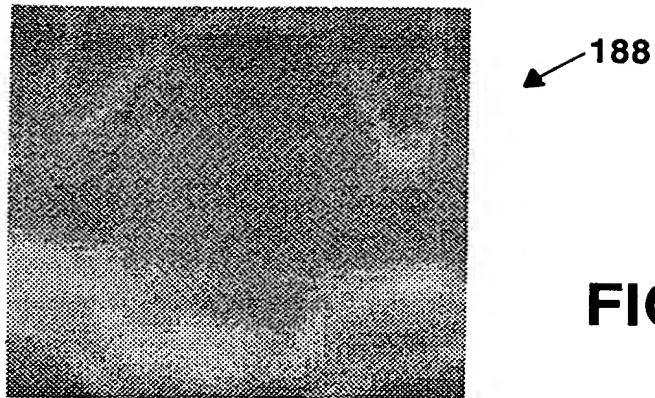
FIG. 7B

09/812,012

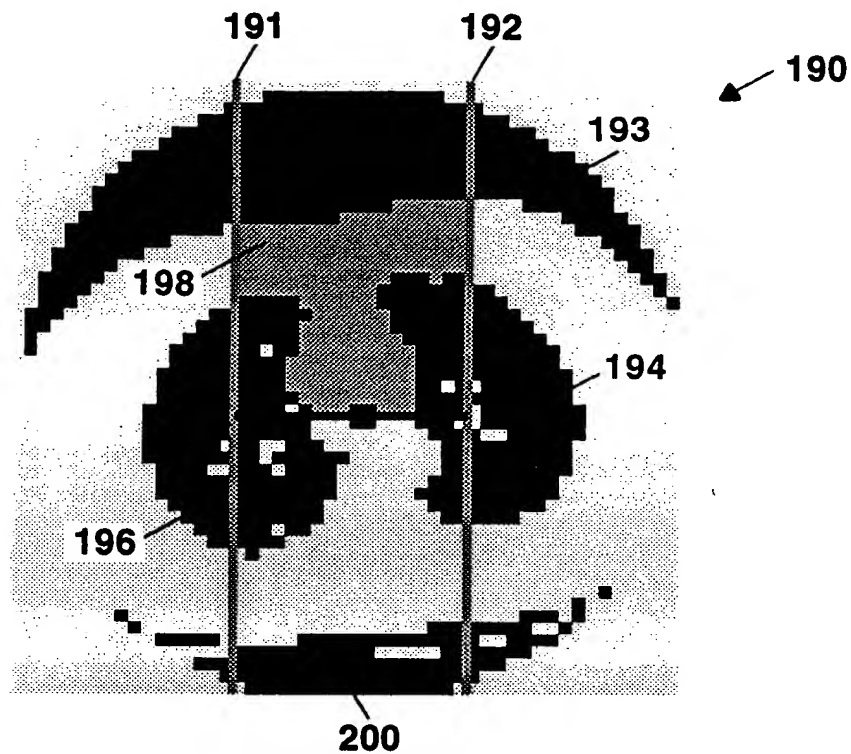
12/21



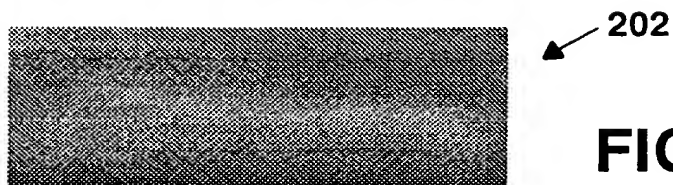
**FIG. 8A**



**FIG. 8B**



**FIG. 9A**



**FIG. 9B**

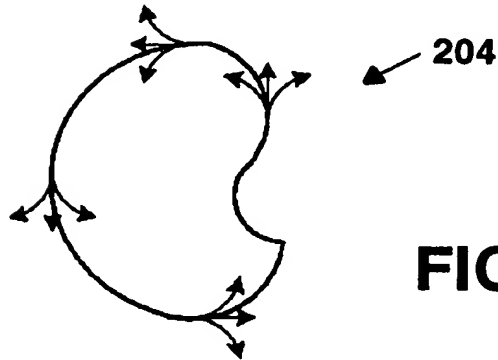


FIG. 10A

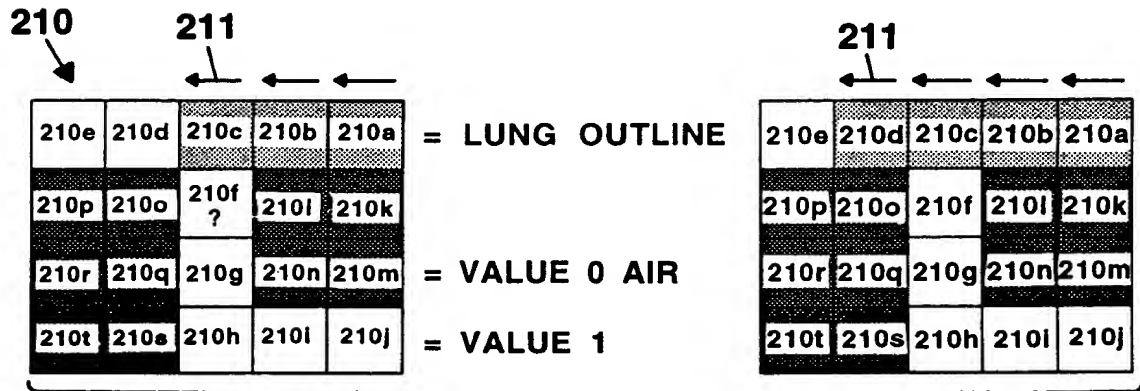


FIG. 10B

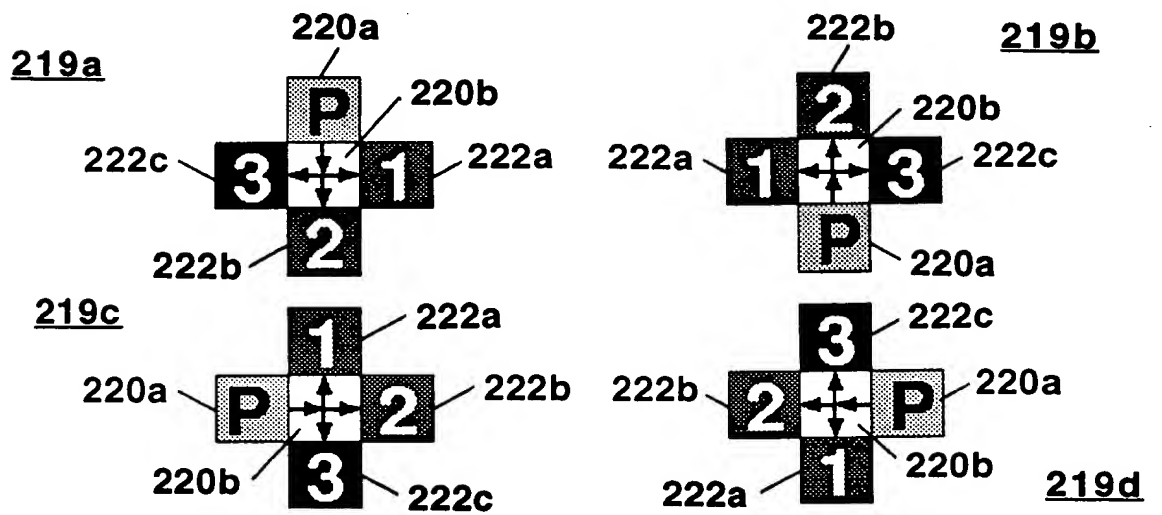


FIG. 10C

15/21

230

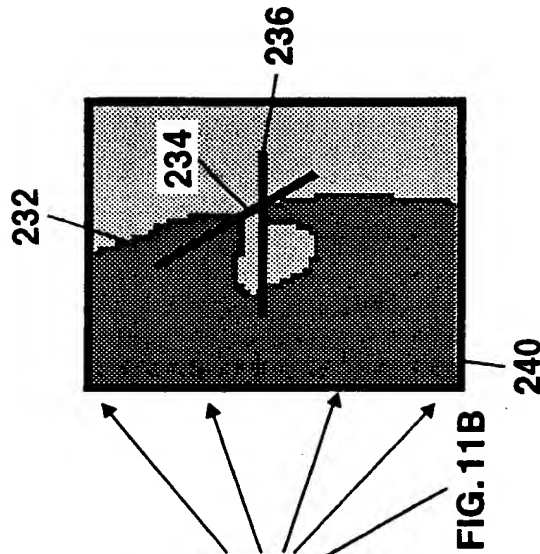
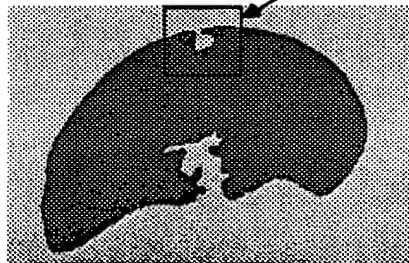


FIG. 11B

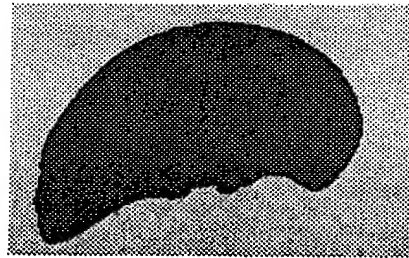
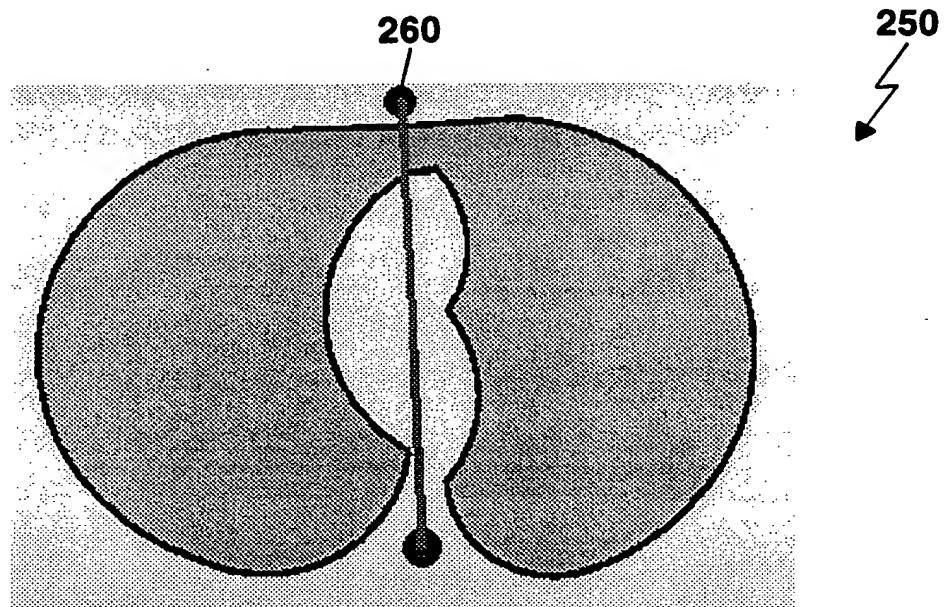


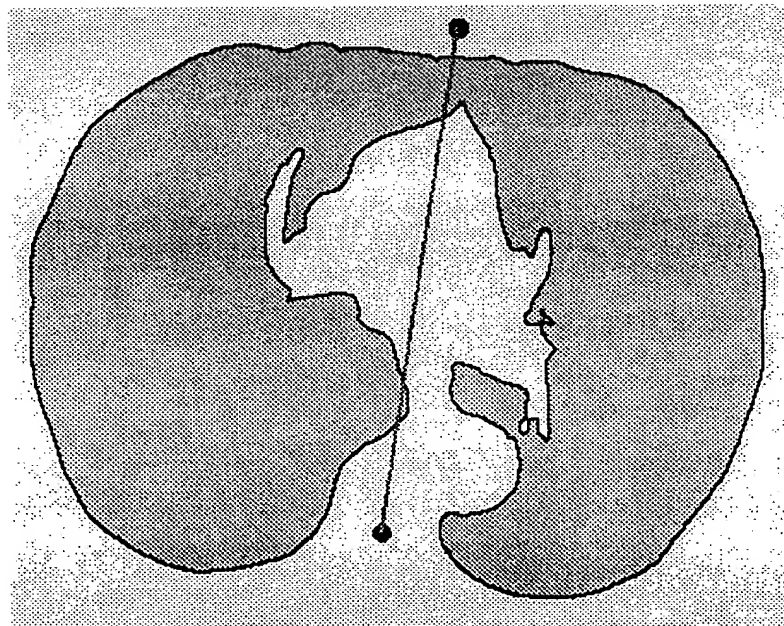
FIG. 11C

FIG. 11B

FIG. 11A



**FIG. 12A**



**FIG. 12B**



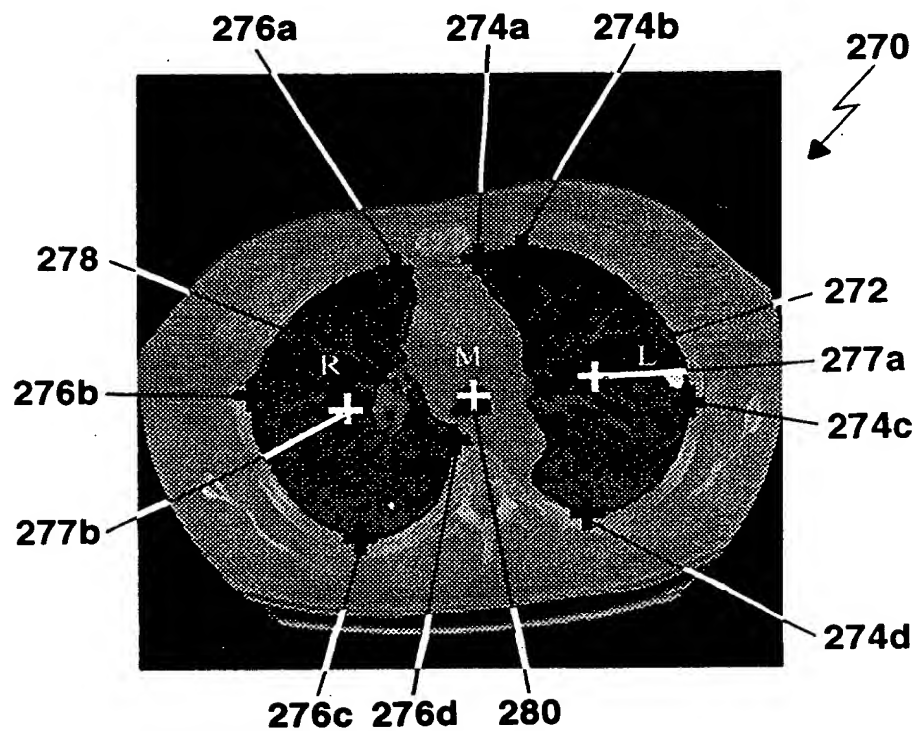
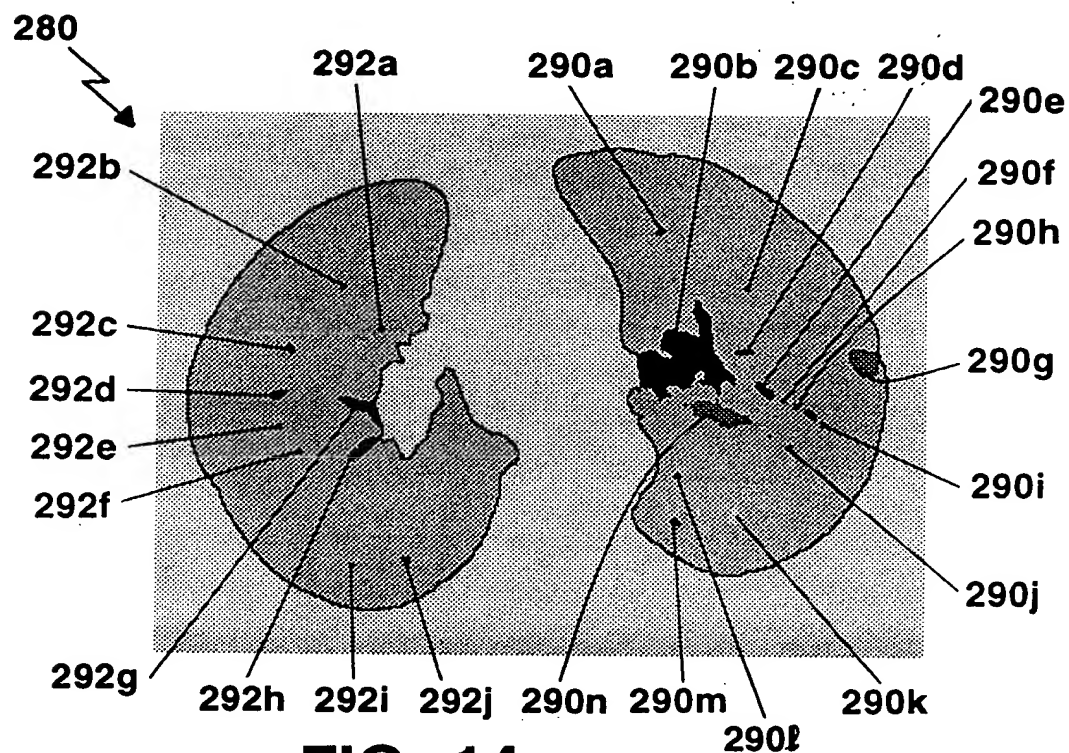


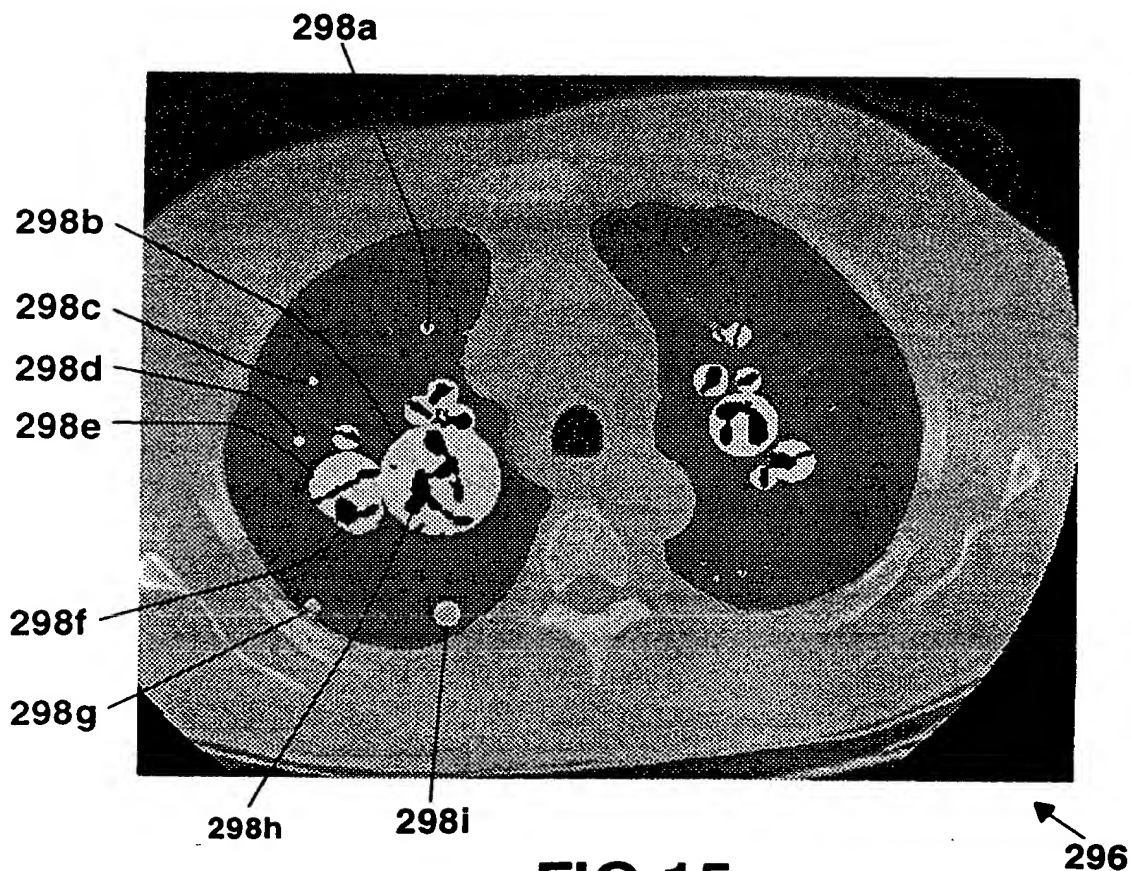
FIG. 13



FIG. 21



**FIG. 14**



**FIG. 15**

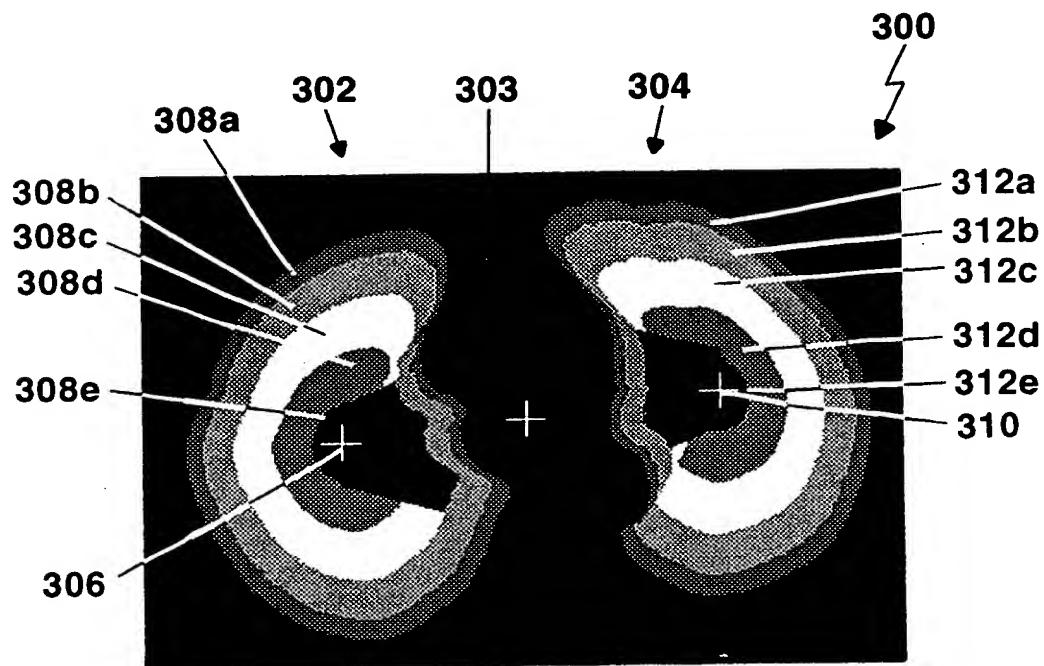


FIG. 16

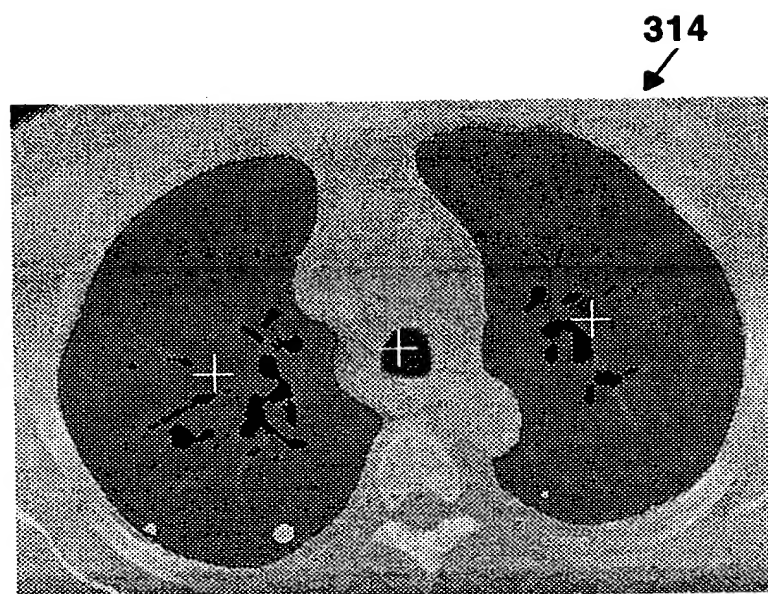
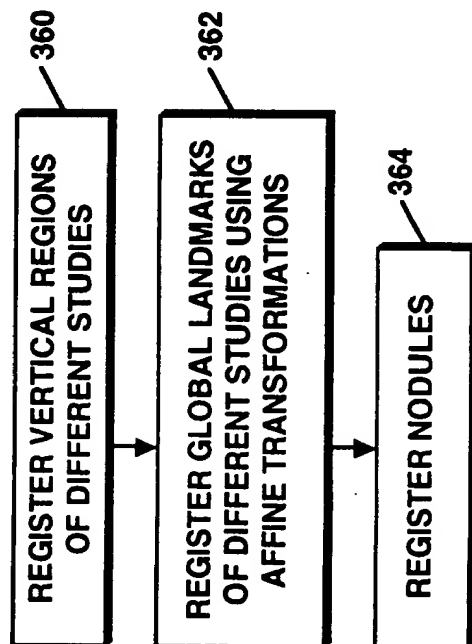
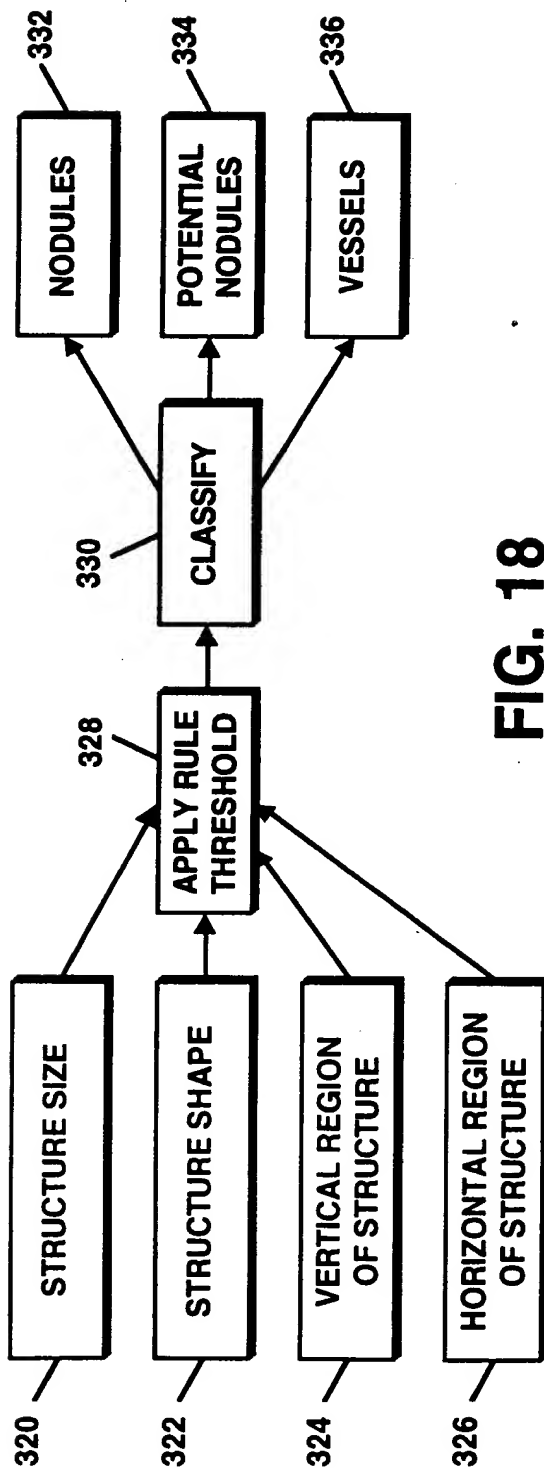


FIG. 17



HIGH  
THRESHOLD

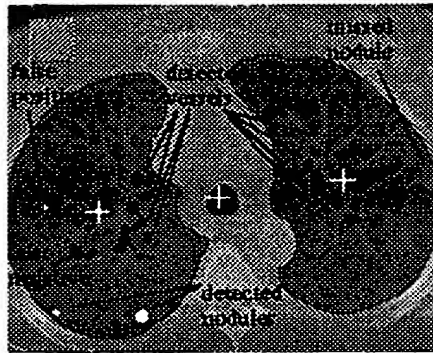


FIG. 19

LOW  
THRESHOLD

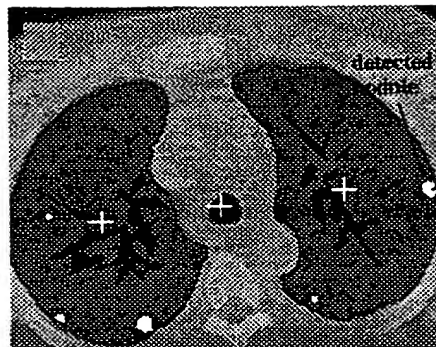


FIG. 19A